

УДК 532.526

## ВИХРЕВЫЕ СТРУКТУРЫ ЗА ПОПЕРЕЧНОЙ СТРУЕЙ В СВЕРХЗВУКОВОМ ПОТОКЕ ПРИ БОЛЬШИХ ЗНАЧЕНИЯХ ПАРАМЕТРА НЕРАСЧЕТНОСТИ

А. О. Бекетаева, П. Бруель\*, А. Ж. Найманова

Институт математики Министерства образования и науки Республики Казахстан,  
050010 Алма-Ата, Казахстан

\* Национальный центр научных исследований (CNRS), По, Франция  
E-mails: azimaras@mail.ru, Pascal.Brueel@univ-pau.fr, ked@math.kz

Численно моделируется трехмерное сверхзвуковое турбулентное течение с симметричным перпендикулярным вдувом круглых струй со стенок канала. С использованием алгоритма, построенного на основе ENO-схемы, решаются исходные осредненные по Фавру уравнения Навье — Стокса, замкнутые с помощью  $(k-\omega)$ -модели турбулентности. Для значений параметра нерасчетности  $3 \leq n \leq 50$  изучен механизм формирования вихревых структур при взаимодействии струи с набегающим потоком. Экспериментально установлено, что при  $n \geq 10$  в результате смещения струи и натекающего высокоскоростного потока появляется пара вихрей и происходит дополнительный отрыв вблизи стенки за струей. Показано, что результаты расчета распределения давления на стенке перед струей в плоскости симметрии удовлетворительно согласуются с экспериментальными данными.

Ключевые слова: численное моделирование, сверхзвуковое течение, совершенный газ, пограничный слой, уравнения Навье — Стокса, параметр нерасчетности, ударная волна.

DOI: 10.15372/PMTF20150504

**Введение.** Исследование вдува струи в набегающий поток является актуальной задачей, поскольку примеров взаимодействия поперечной струи с набегающим потоком множество: от истечения дыма из дымохода в окружающую среду до камер сгорания в прямоточных воздушно-реактивных двигателях и систем управления самолетов и ракет. Большинство работ по этой теме посвящено определению реактивной силы струи при ее взаимодействии со сверхзвуковым набегающим потоком и внешним пограничным слоем. При этом поведение и структура струи исследованы недостаточно. Ряд работ посвящен исследованию поперечного вдува струи при малых и умеренных значениях параметра нерасчетности (см., например, [1–6]), хорошо изучена физическая картина области взаимодействия: образование сложной  $\lambda$ -образной системы скачков уплотнения, вследствие чего возникает область возвратных течений в виде двух противоположно вращающихся вихрей перед струей; формирование возвратного течения за струей вследствие образования зоны низкого давления; возникновение бочкообразной структуры и диска Маха в струе [1–8].

Моделирование турбулентности также является актуальной задачей при исследовании турбулентных струй. Широкое использование простых алгебраических моделей тур-

булентности объясняется простотой их реализации, однако модели такого типа являются ограниченными. Для того чтобы преодолеть ограниченность алгебраических моделей, в настоящее время используются модели турбулентности, позволяющие учитывать перенос турбулентности путем решения дифференциальных уравнений. Согласно [9] для расчета пристенной турбулентности целесообразно использовать  $(k-\omega)$ -модели турбулентности Вилкокса ( $\omega$  — скорость диссипации на единицу энергии турбулентности). Данная модель позволяет получить более точные результаты для сложных типов течений с большими градиентами давления. Рассматриваемая задача взаимодействия струи со сверхзвуковым потоком характеризуется наличием больших областей возвратных течений, и для замыкания исходной системы уравнений  $(k-\omega)$ -модель турбулентности Вилкокса является приемлемой.

Целью настоящей работы является численное моделирование вдува звуковых струй из круглых отверстий, расположенных симметрично на верхней и нижней стенках канала, перпендикулярно сверхзвуковому потоку, а также изучение динамики возникновения дополнительных вихревых структур в струе и за ней при значениях параметра нерасчетности от умеренных до больших.

**Структура течения.** Для удобства вычисления будем рассматривать вдув струи только с нижней стенки. Схема течения и вихревая картина показаны на рис. 1, где головная волна, скачок отрыва и система скачков уплотнения с двумя тройными точками, соответствующая истечению существенно недорасширенной струи [7], показаны линиями 1, 2, 3, вихри перед струей — линиями 4, 5. Линия стекания потока на стенке  $S_1$  соответствует границе скачка 2, за которой образуется область отрыва пограничного слоя перед струей. В области скачка уплотнения 3 поток растекается по всем направлениям, большая его часть поворачивает к стенке и проникает в зону обратного отрывного течения. Достигнув поверхности стенки, поток растекается в противоположных направлениях (линия растекания  $R_1$ ). Сформировавшаяся в результате взаимодействия хвостового скачка уплотнения с поверхностью пластины линия обозначена  $S_3$ . Также при истечении круглой струи в сносящий поток в струе возникает вихревая структура, аналогичная истечению струи несжимаемой жидкости и являющаяся достаточно изученной. Однако в работе [8] для течений с большими параметрами нерасчетности, где отношение статического давления в струе к полному давлению потока равно 532, показано, что при истечении газовой струи появляются дополнительные вихри. Вихревая картина, возникающая при поперечном вдуве струи в набегающий поток при больших значениях параметра нерасчетности и описанная в [8], представлена на рис. 1, б. В сечении  $yz$  (плоскость  $\Omega$  на рис. 1, а) показана вихревая структура на некотором расстоянии от области вдува струи, состоящая из пяти пар противоположно вращающихся вихрей. Из них две пары 8, 6 (рис. 1, б) формируются в зоне смешения, пара вихрей 9 формируется за счет взаимодействия струи, проходящей через диск Маха  $D$ , со скоростным набегающим потоком. Подковообразный вихрь 7 возникает при наличии большого градиента давления перед струей и вследствие отрыва потока. Две пары вихрей 10 образуются в результате перетекания потока над бочкообразной структурой  $B$  в струе.

Таким образом, исследование сверхзвуковых течений при больших значениях параметра нерасчетности является новой малоизученной задачей.

**Постановка задачи.** В качестве исходной используем систему трехмерных осредненных по Фавру уравнений Навье — Стокса для сжимаемого турбулентного газа, записанную в декартовой системе координат в консервативной форме:

$$\frac{\partial \mathbf{U}}{\partial t} + \frac{\partial (\mathbf{E} - \mathbf{E}_v)}{\partial x} + \frac{\partial (\mathbf{F} - \mathbf{F}_v)}{\partial z} + \frac{\partial (\mathbf{G} - \mathbf{G}_v)}{\partial y} = \mathbf{S}. \quad (1)$$

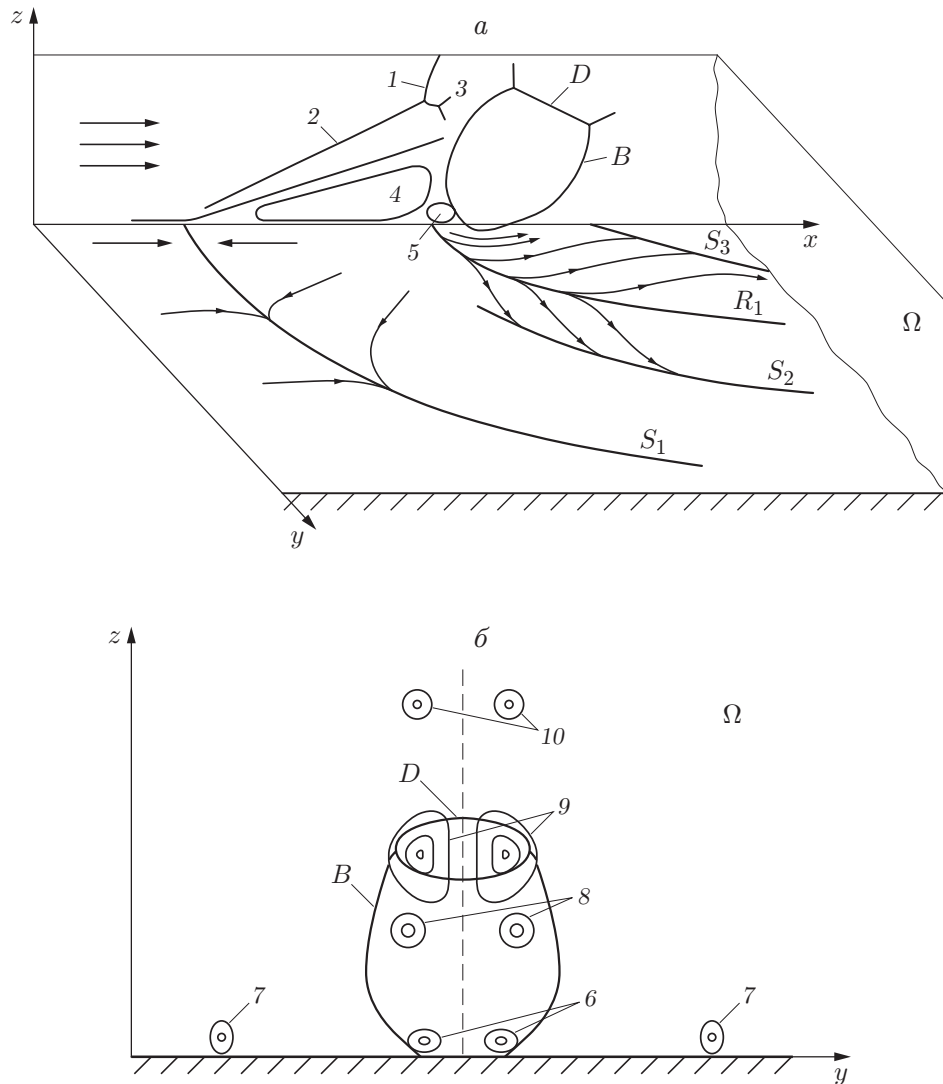


Рис. 1. Схема истечения струи (а) и вихревая картина при поперечном вдуве струи в набегающий поток (б):

1 — головная волна, 2 — скачок отрыва, 3 — система скачков уплотнения с двумя тройными точками, 4, 5 — вихри перед струей, 6–10 — пары вихрей, вращающихся в противоположных направлениях

Здесь

$$\mathbf{U} = \begin{pmatrix} \rho \\ \rho u \\ \rho v \\ \rho w \\ E_t \\ \rho k \\ \rho \omega \end{pmatrix}, \quad \mathbf{E} = \begin{pmatrix} \rho u \\ \rho u^2 + P \\ \rho uv \\ \rho uw \\ (E_t + P)u \\ \rho uk \\ \rho u\omega \end{pmatrix}, \quad \mathbf{F} = \begin{pmatrix} \rho v \\ \rho vw \\ \rho vv \\ \rho v^2 + P \\ (E_t + P)v \\ \rho vk \\ \rho v\omega \end{pmatrix}, \quad \mathbf{G} = \begin{pmatrix} \rho w \\ \rho vw \\ \rho w^2 + P \\ (E_t + P)w \\ \rho wk \\ \rho w\omega \end{pmatrix},$$

$$\mathbf{E}_v = \left( 0, \tau_{xx}, \tau_{xy}, \tau_{xz}, u\tau_{xx} + v\tau_{xz} + w\tau_{xz} - q_x, \frac{1}{\text{Re}} (\mu_l + \sigma_k \mu_t) \frac{\partial k}{\partial x}, \frac{1}{\text{Re}} (\mu_l + \sigma_\omega \mu_t) \frac{\partial \omega}{\partial x} \right)^T,$$

$$\begin{aligned} \mathbf{F}_v &= \left( 0, \tau_{xz}, \tau_{yz}, \tau_{zz}, u\tau_{xz} + v\tau_{yz} + w\tau_{zz} - q_z, \frac{1}{\text{Re}} (\mu_l + \sigma_k \mu_t) \frac{\partial k}{\partial z}, \frac{1}{\text{Re}} (\mu_l + \sigma_\omega \mu) \frac{\partial \omega}{\partial z} \right)^\top, \\ \mathbf{G}_v &= \left( 0, \tau_{xy}, \tau_{yy}, \tau_{yz}, u\tau_{xy} + v\tau_{yy} + w\tau_{yz} - q_y, \frac{1}{\text{Re}} (\mu_l + \sigma_k \mu_t) \frac{\partial k}{\partial y}, \frac{1}{\text{Re}} (\mu_l + \sigma_\omega \mu) \frac{\partial \omega}{\partial y} \right)^\top, \\ \tau_{xx} &= \frac{2}{3} \frac{\mu_t}{\text{Re}} (2u_x - w_z - v_y), \quad \tau_{zz} = \frac{2}{3} \frac{\mu_t}{\text{Re}} (2w_z - u_x - v_y), \quad \tau_{yy} = \frac{2}{3} \frac{\mu_t}{\text{Re}} (2v_y - u_x - w_z), \\ \tau_{xz} &= \tau_{zx} = \frac{\mu_t}{\text{Re}} (u_z + w_x), \quad \tau_{xy} = \tau_{yx} = \frac{\mu_t}{\text{Re}} (u_y + v_x), \quad \tau_{yz} = \tau_{zy} = \frac{\mu_t}{\text{Re}} (w_y + v_z), \\ q_x &= -\frac{\mu_t}{(\gamma - 1) M_\infty^2 \text{Pr Re}} T_x, \quad q_y = -\frac{\mu_t}{(\gamma - 1) M_\infty^2 \text{Pr Re}} T_y, \quad q_z = -\frac{\mu_t}{(\gamma - 1) M_\infty^2 \text{Pr Re}} T_z, \\ \mathbf{S} &= (0, 0, 0, 0, 0, P_k - \beta^* \rho \omega k, \gamma^* \rho P_k / \mu_t - \beta \rho \omega^2)^\top, \\ P_k &= \mu_t \left[ \left( \frac{\partial u_i}{\partial x_j} + \frac{\partial u_j}{\partial x_i} \right) \frac{\partial u_i}{\partial x_j} - \frac{2}{3} \left( \frac{\partial u_k}{\partial x_k} \right)^2 \right] - \frac{2}{3} \rho k \frac{\partial u_k}{\partial x_k}, \quad i, j, k = 1, 2, 3, \\ \sigma_k &= 0,5, \quad \sigma_\omega = 0,5, \quad \beta^* = 0,09, \quad \beta = 0,075, \quad \gamma^* = 5/9, \end{aligned}$$

$k, \omega$  — кинетическая энергия турбулентности и скорость диссипации кинетической энергии турбулентности;  $P_k$  — член, определяющий генерацию турбулентности; турбулентная вязкость определяется по формуле  $\mu_t = \rho k / \omega$  [9];  $\mu_l$  определяется по формуле Сазерленда.

Выражения для давления  $P$  и температуры  $T$  запишем в виде

$$\begin{aligned} P &= (\gamma - 1)[E_t - (\rho u^2 + \rho w^2 + \rho v^2)/2], \\ T &= \frac{1}{\rho c_v} \left( E_t - \frac{1}{2} (\rho u^2 + \rho w^2 + \rho v^2) \right), \quad c_v = \frac{1}{\gamma(\gamma - 1) M_\infty^2}, \end{aligned}$$

где  $t$  — время;  $u, w, v$  — компоненты скорости потока в продольном и поперечных направлениях;  $\rho$  — плотность;  $c_v$  — теплоемкость при постоянном объеме;  $\gamma$  — показатель адиабаты;  $M_\infty$  — число Маха потока.

Исходная система (1) записана в безразмерной форме. В качестве определяющих параметров принимались параметры на входе  $u_\infty, \rho_\infty, T_\infty$ , давление и полная энергия нормировались на величину  $\rho_\infty u_\infty^2$ , в качестве характерной длины выбран диаметр круглого отверстия струи;  $\text{Pr}$  — число Прандтля;  $\text{Re} = u_\infty L / \nu$  — число Рейнольдса;  $L$  — длина канала, являющаяся характерным линейным размером для числа Рейнольдса.

Граничные и начальные условия имеют следующий вид:

— на входе в канал

$$u = 1, \quad v = 0, \quad w = 0, \quad \rho = 1, \quad T = 1, \quad x = 0, \quad 0 \leq y \leq H_y, \quad 0 \leq z \leq H_z;$$

— на нижней стенке

$$u = 0, \quad v = 0, \quad w = 0, \quad \frac{\partial T}{\partial z} = 0, \quad \frac{\partial P}{\partial z} = 0, \quad z = 0, \quad 0 < x \leq H_x, \quad 0 \leq y \leq H_y.$$

Начальные данные для параметров  $k, \omega$  определялись с использованием алгебраической модели турбулентности Болдуина — Ломакса по известным осредненным физическим параметрам входного потока. С использованием соотношений  $P_k = \beta^* \rho \omega k$  начальное распределение турбулентных параметров принимает вид

$$k = k_\infty, \quad k_\infty = \frac{\mu_{tBL}}{\rho \text{Re} \sqrt{\beta^*}} \sqrt{\frac{P_k}{\mu_{tBL}}}, \quad \omega = \omega_\infty, \quad \omega_\infty = \frac{\rho k}{\mu_{tBL} \text{Re}}.$$

Для параметров  $(k-\omega)$ -модели турбулентности на стенке задавались условия

$$k = 0, \quad \omega = \frac{6\mu}{0,075\rho(\Delta y_1)^2}.$$

Вблизи стенки задаются толщина пограничного слоя  $\delta_1 = 0,37x(\text{Re})^{-0,2}$  и толщина пристенного слоя  $\delta_2 = 0,1\delta_1$ . Выражение для продольной составляющей скорости  $u$  записывается в виде

$$u = 0,1z/\delta_2 + 0,9(z/\delta_2)^2, \quad 0 < x \leq H_x, \quad 0 \leq y \leq H_y, \quad 0 \leq z \leq \delta_2.$$

В развитом турбулентном пограничном слое профиль продольной скорости задавался степенным законом

$$u = (z/\delta_1)^{1/7}, \quad 0 < x \leq H_x, \quad 0 \leq y \leq H_y, \quad \delta_2 \leq z \leq \delta_1.$$

В зависимости от распределения скорости выражения для температуры и плотности принимали вид

$$T = T_w + u(1 - T_w), \quad \rho = \frac{1}{T},$$

где  $T_w = 1 + r(\gamma - 1)M_\infty^2/2$  — температура на стенке,  $r = 0,88$ ,  $z = 0$ ,  $0 < x \leq H_x$ ,  $0 \leq y \leq H_y$ .

Остальные граничные условия задавались следующим образом:

— в струе

$$u = 0, \quad v = 0, \quad T = 0,6, \quad w = \sqrt{T} M_0 / M_\infty, \quad P_0 = nP_\infty, \quad z = 0, \quad x^2 + y^2 \leq R$$

( $M_0$  — число Маха струи;  $n$  — степень нерасчетности);

— на верхней границе (условие симметрии)

$$w = 0, \quad \frac{\partial u}{\partial z} = 0, \quad \frac{\partial v}{\partial z} = 0, \quad \frac{\partial T}{\partial z} = 0, \quad \frac{\partial k}{\partial z} = 0, \quad \frac{\partial \omega}{\partial z} = 0, \\ z = H_z, \quad 0 < x \leq H_x, \quad 0 \leq y \leq H_y;$$

— на боковых границах

$$\frac{\partial u}{\partial y} = \frac{\partial v}{\partial y} = \frac{\partial w}{\partial y} = \frac{\partial \rho}{\partial y} = \frac{\partial k}{\partial y} = \frac{\partial \omega}{\partial y} = 0, \\ y = 0, \quad y = H_y, \quad 0 < x \leq H_x, \quad 0 \leq z \leq H_z$$

( $H_x$ ,  $H_z$ ,  $H_y$  — длина, высота и ширина расчетной области;  $R$  — радиус круглого отверстия);

— на выходной границе — условие неотражения [10].

**Метод решения.** В настоящее время для численного решения задачи о сверхзвуковом течении с ударно-волновой структурой применяются TVD-, ENO-, WENO-схемы. В работе [11] на основе метода Годунова развивается ENO-схема и показана ее применимость для решения задачи о сверхзвуковом течении многокомпонентного газа в плоском канале с вдувом перпендикулярных струй. Для решения поставленной задачи ENO-схема обобщается на трехмерный случай. Предварительно в пограничном слое вблизи стенки и границы струи сетка сгущается с помощью преобразований [6]

$$\xi = \xi(x), \quad \eta = \eta(z), \quad \zeta = \zeta(y).$$

Тогда в обобщенных координатах система уравнений (1) принимает вид

$$\frac{\partial \tilde{U}}{\partial t} + \frac{\partial \tilde{E}}{\partial \xi} + \frac{\partial \tilde{F}}{\partial \eta} + \frac{\partial \tilde{G}}{\partial \zeta} = \frac{\partial \tilde{E}_{v2}}{\partial \xi} + \frac{\partial \tilde{E}_{vm}}{\partial \xi} + \frac{\partial \tilde{F}_{v2}}{\partial \eta} + \frac{\partial \tilde{F}_{vm}}{\partial \eta} + \frac{\partial \tilde{G}_{v2}}{\partial \zeta} + \frac{\partial \tilde{G}_{vm}}{\partial \zeta},$$

где

$$\begin{aligned}\tilde{U} &= \frac{1}{J} U, & \tilde{E} &= \frac{\xi_x}{J} E, & \tilde{F} &= \frac{\eta_z}{J} F, & \tilde{E}_{v2} &= \frac{\xi_x}{J} E_{v2}, & \tilde{E}_{vm} &= \frac{\xi_x}{J} E_{vm}, \\ \tilde{F}_{v2} &= \frac{\eta_z}{J} F_{v2}, & \tilde{F}_{vm} &= \frac{\eta_z}{J} F_{vm}, & \tilde{G}_{v2} &= \frac{\zeta_y}{J} G_{v2}, & \tilde{G}_{vm} &= \frac{\zeta_y}{J} G_{vm},\end{aligned}$$

$J = \partial(\xi, \eta, \zeta)/\partial(x, z, y)$  — якобиан преобразования;  $\tilde{E}_{vm}$ ,  $\tilde{E}_{v2}$  — диффузионные члены, содержащие смешанные и вторые производные.

В соответствии с принципом построения ENO-схемы исходную систему уравнений запишем следующим образом:

$$\begin{aligned}\frac{\partial \tilde{U}}{\partial t} + (\hat{A}^+ + \hat{A}^-) \frac{\partial \mathbf{E}^m}{\partial \xi} + (\hat{B}^+ + \hat{B}^-) \frac{\partial \mathbf{F}^m}{\partial \eta} + (\hat{Q}^+ + \hat{Q}^-) \frac{\partial \mathbf{G}^m}{\partial \zeta} - \\ - \left( \frac{\partial (\tilde{E}_{v2} + \tilde{E}_{vm})}{\partial \xi} + \frac{\partial (\tilde{F}_{v2} + \tilde{F}_{vm})}{\partial \eta} - \frac{\partial (\tilde{G}_{v2} + \tilde{G}_{vm})}{\partial \zeta} \right) = 0.\end{aligned}\quad (2)$$

Здесь  $A = \partial \mathbf{E}/\partial U$ ,  $B = \partial \mathbf{F}/\partial U$ ,  $Q = \partial \mathbf{G}/\partial U$  — матрицы Якоби,

$$\hat{A}^\pm = R \hat{\Lambda}_\xi R^{-1} = R \left( \frac{1 \pm \text{sign}(\Lambda_\xi)}{2} \right) R^{-1},$$

$$\hat{B}^\pm = T \hat{\Lambda}_\eta T^{-1} = T \left( \frac{1 \pm \text{sign}(\Lambda_\eta)}{2} \right) T^{-1}, \quad \hat{Q}^\pm = S \hat{\Lambda}_\zeta S^{-1} = S \left( \frac{1 \pm \text{sign}(\Lambda_\zeta)}{2} \right) S^{-1},$$

$\mathbf{E}^m = \tilde{E} + \mathbf{E}_\xi + \mathbf{D}_\xi$ ,  $\mathbf{F}^m = \tilde{F} + \mathbf{E}_\eta + \mathbf{D}_\eta$ ,  $\mathbf{G}^m = \tilde{G} + \mathbf{E}_\zeta + \mathbf{D}_\zeta$  — модифицированные потоки в узловых точках  $(i, j, k)$ , состоящие из исходных конвективных векторов ( $\tilde{E}$ ,  $\tilde{F}$ ,  $\tilde{G}$ ) и добавочных членов высокого порядка точности  $\mathbf{E}_\xi$ ,  $\mathbf{D}_\xi$ ,  $\mathbf{E}_\eta$ ,  $\mathbf{D}_\eta$ ,  $\mathbf{E}_\zeta$ ,  $\mathbf{D}_\zeta$  [11].

После факторизации одношаговой конечно-разностной схемы для интегрирования по времени уравнения (2) получаем равенство

$$\begin{aligned}\left[ I + \Delta t \left( (\hat{A}^+ + \hat{A}^-)^n \frac{\partial}{\partial \xi} A_\xi^n - \frac{\partial}{\partial \xi} \tilde{\mu}_\xi \frac{\partial}{\partial \xi} \frac{1}{\tilde{U}_1} \right) \right] \left[ I + \Delta t \left( (\hat{B}^+ + \hat{B}^-)^n \frac{\partial}{\partial \eta} B_\eta^n - \frac{\partial}{\partial \eta} \tilde{\mu}_\eta \frac{\partial}{\partial \eta} \frac{1}{\tilde{U}_1} \right) \right] \times \\ \times \left[ I + \Delta t \left( (\hat{Q}^+ + \hat{Q}^-)^n \frac{\partial}{\partial \zeta} Q_\zeta^n - \frac{\partial}{\partial \zeta} \tilde{\mu}_\zeta \frac{\partial}{\partial \zeta} \frac{1}{\tilde{U}_1} \right) \right] \tilde{U}^{n+1} = \\ = \tilde{U}^n + \Delta t \left( \frac{\partial \tilde{E}_{v22}^n}{\partial \xi} + \frac{\partial \tilde{F}_{v22}^n}{\partial \eta} + \frac{\partial \tilde{G}_{v22}^n}{\partial \zeta} + \right. \\ \left. + \frac{\partial}{\partial \xi} (2\tilde{E}_{vm}^n - \tilde{E}_{vm}^{n-1}) + \frac{\partial}{\partial \eta} (2\tilde{F}_{vm}^n - \tilde{F}_{vm}^{n-1}) + \frac{\partial}{\partial \zeta} (2\tilde{G}_{vm}^n - \tilde{G}_{vm}^{n-1}) \right) - \\ - \Delta t \left( (\hat{A}^+ + \hat{A}^-) \frac{\partial}{\partial \xi} (\mathbf{E}_\xi + \mathbf{D}_\xi) + (\hat{B}^+ + \hat{B}^-) \frac{\partial}{\partial \eta} (\mathbf{E}_\eta + \mathbf{D}_\eta) + (\hat{Q}^+ + \hat{Q}^-) \frac{\partial}{\partial \zeta} (\mathbf{E}_\zeta + \mathbf{D}_\zeta) \right)^n,\end{aligned}\quad (3)$$

где  $A_\xi = \xi_x A$ ;  $B_\eta = \eta_z B$ ;  $Q_\zeta = \zeta_y Q$ ;  $\hat{A}^+ + \hat{A}^- = I$ ;  $I$  — единичная матрица;  $\tilde{\mu}_\xi = \mu \xi_x^2 / (\text{Re } J)$ ;  $\tilde{\mu}_\eta = \mu \eta_z^2 / (\text{Re } J)$ ;  $\tilde{\mu}_\zeta = \mu \zeta_y^2 / (\text{Re } J)$ .

Аппроксимация производных в конвективных членах, членах, содержащих добавочные векторы высокого порядка, а также в членах, содержащих вторые и смешанные производные, проводится согласно [11].

Система (3) решается с использованием метода расщепления относительно вектора  $\tilde{U}$  матричной прогонкой.

Зависимости среднего и среднеквадратичного отклонений невязок плотности от числа узлов

Число узлов		$L_1^p$	$L_2^p$
$M = I \times J \times K$	$\hat{M} = M \times L \times P$		
201 × 101 × 101	221 × 101 × 101	$1,70 \cdot 10^{-2}$	$7,98 \cdot 10^{-2}$
	181 × 101 × 101	$1,91 \cdot 10^{-2}$	$8,98 \cdot 10^{-2}$
201 × 101 × 101	201 × 81 × 81	$3,00 \cdot 10^{-2}$	0,11
	201 × 111 × 111	$2,19 \cdot 10^{-2}$	$9,98 \cdot 10^{-2}$

**Анализ результатов.** Расчет проводился на разнесенной сетке размером  $201 \times 101 \times 101$  с шагами по пространственным координатам  $\Delta x = 0,1 \div 0,5$ ,  $\Delta z = 0,03 \div 0,25$ ,  $\Delta y = 0,1 \div 0,5$  и шагом по времени  $\Delta t = 0,025$ . Исследовалось обтекание сверхзвуковым потоком с параметрами  $Re = 1,87 \cdot 10^7$ ,  $Pr = 0,9$ ,  $M_\infty = 3$  звуковой струи совершенного газа, вдуваемой из отверстия диаметром  $d = 1,4$  см. Размеры рассматриваемой области равны  $H_x = 30$  калибров,  $H_z = 15$  калибров,  $H_y = 30$  калибров, центр струи находится на расстоянии  $x_0 = 10$  калибров,  $y_0 = 15$  калибров. Во входном сечении задавались толщина пограничного слоя  $\delta_1 = 1$ , вычисленная для  $x = 250$ . Высота пристенного слоя соответствует ламинарно-турбулентному подслою  $z^+ = 72$ , где  $z^+ = \delta_2 u_\tau / \nu$ , а высота пограничного слоя равна  $z^+ = \delta_1 u_\tau / \nu = 2570$ , где  $u_\tau = (C_f/2)^{1/2}$  — динамическая скорость;  $C_f$  — коэффициент трения потока на стенке, вычисленный по формуле Прандтля — Шлихтинга. Вблизи стенки сетка сгущалась таким образом, чтобы расчет пристенного слоя осуществлялся на 5–8 узловых точках в направлении оси  $z$ , а расчет всего пограничного слоя выполнялся с использованием 22–26 узлов расчетной сетки. Численный алгоритм тестировался в двумерной постановке путем сравнения полученных результатов с экспериментальными данными [11].

В таблице представлена зависимость сходимости решений от характеристик сетки, выраженная через среднее  $L_1^p = \frac{1}{N} \sum_{n=1}^N |\varepsilon_M^n - \varepsilon_{\hat{M}}^n|$  и среднеквадратичное  $L_2^p = \frac{1}{N} \left( \sum_{n=1}^N |\varepsilon_M^n - \varepsilon_{\hat{M}}^n|^2 \right)^{1/2}$  отклонения невязок плотности. (Здесь  $\varepsilon_M^n = \max_{(i,j) \in M} |\rho_{i,j}^{n+1} - \rho_{i,j}^n|$ ,  $\varepsilon_{\hat{M}}^n = \max_{(i,j) \in \hat{M}} |\rho_{i,j}^{n+1} - \rho_{i,j}^n|$ ;  $N$  — число итераций.) Оценки выполнены путем последовательного измельчения сеток, при этом в качестве начальной принималась сетка  $M$  с  $I \times J \times K$  узлами, затем узлы  $M$ ,  $L$ ,  $P$  сетки  $\hat{M}$  варьировались. Из таблицы следует, что отклонения невязок плотности уменьшаются с измельчением сетки. Поэтому сетка  $M$  размером  $201 \times 101 \times 101$ , для которой невязки минимальны, выбрана для последующих вычислений.

На рис. 2–5 представлены результаты расчетов при значении параметра нерасчетности  $n = 50$ . На рис. 2,а видно, что в зоне, примыкающей к стенке перед струей, в результате отрыва набегающего потока, обусловленного наличием  $\lambda$ -образной системы скачков уплотнения, формируются два противоположно вращающихся подковообразных вихря. Вихрь 5 (см. рис. 1,а), примыкающий к струе, вращается против часовой стрелки, а вихрь 4, отстоящий от него, — по часовой стрелке, т. е. навстречу набегающему потоку, в результате чего образуются линии стекания и растекания потоков [6]. Эти вихри хорошо изучены (см., например, [5, 6]). В рассматриваемом случае вихри в основном локализовались в передней части струи, поэтому ярко выраженной подковообразной структуры 7 за область вдува струи (см. рис. 1,б) не наблюдается.

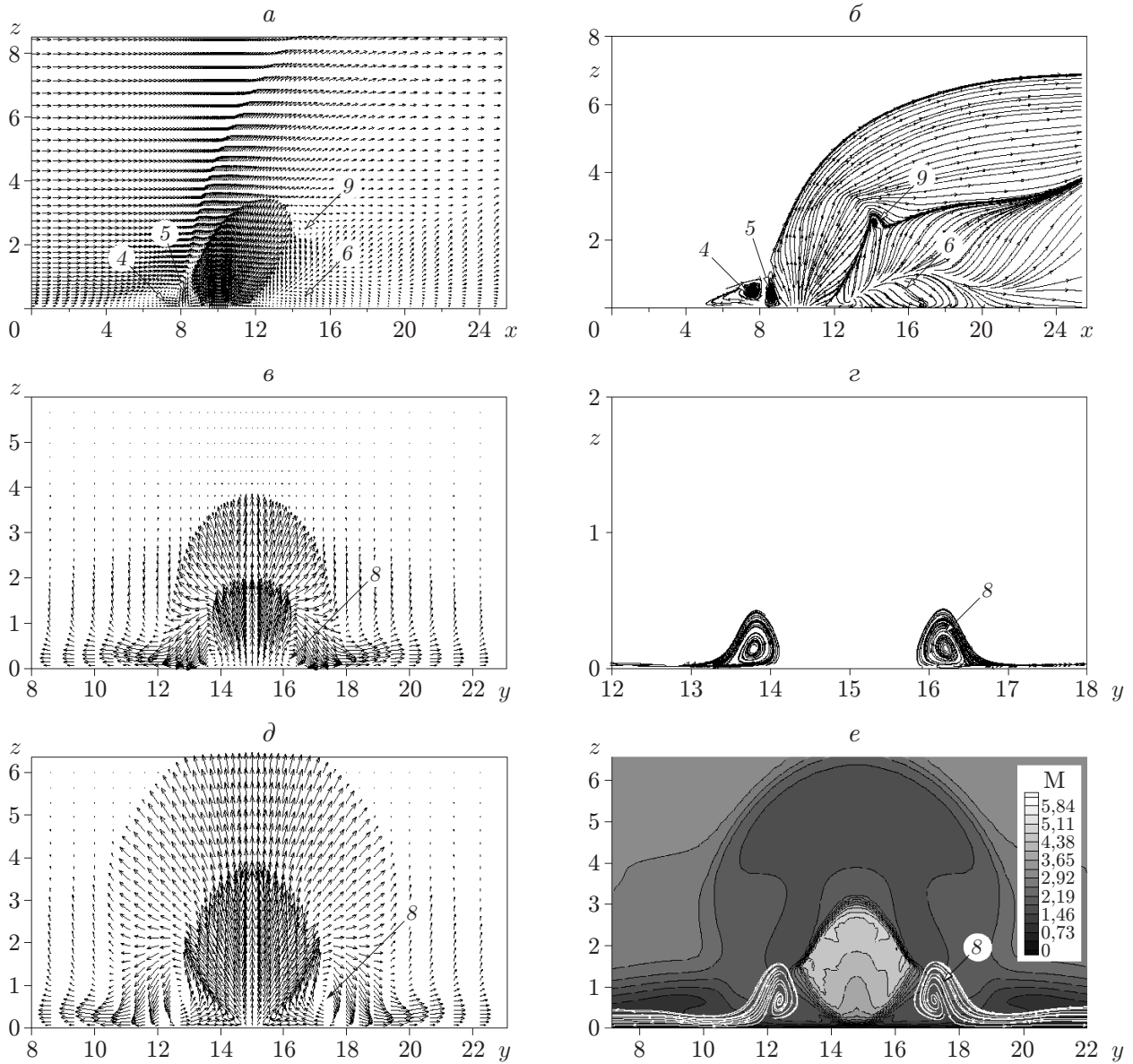


Рис. 2. Поле вектора скорости (*a*, *в*, *д*), проекции линий тока на плоскость, нормальную к оси *x* (*б*, *г*, *е*), и распределение числа Маха (*е*) при  $Re = 1,87 \cdot 10^7$ ,  $Pr = 0,9$ ,  $n = 50$ ,  $M_0 = 1$ ,  $M_\infty = 3$ :

*a*, *б* — в плоскости симметрии ( $y = 15,0$ ), *в*, *г* — в плоскости  $zy$  ( $x = 9,1$ ), *д*, *е* — в плоскости  $zy$  ( $x = 11,4$ ); 4–6, 8, 9 — вихри, показанные на рис. 1

Пара вихрей за струей (вихрь 8 на рис. 1,б) генерируются вихрем 5. Так, в области перед струей, т. е. на расстоянии  $x = 9,1$  калибра от начала расчетной области (см. рис. 2,в,г) хорошо видны боковые вихри 8. Результаты численных расчетов показывают, что эти вихри с центрами вращения в слое смещения струи и потока, обтекая струю, увеличиваются по мере движения вниз по потоку. Увеличение размеров этих вихрей обусловлено прежде всего тем, что они сосредоточены вблизи стенки, и увеличением толщины пограничного слоя. Максимальные размеры бокового вихря наблюдаются в сечении  $x = 11,4$  (см. рис. 2,д). Ядро вихря расположено вблизи острого угла бочкообразной структуры, возникающей в струе (см. рис. 2,е). Видно, что центр вращения вихря находится вблизи боковой острой кромки бочкообразной структуры. Результаты численных экспериментов показывают, что в сечении  $x = 13,5$  интенсивность вихря 8 уменьшается, а бочкообразная структура исчезает.

На рис. 3,а в сечении  $x = 14,7$  показано возникновение вихря 9, который вносит основной вклад в смещение струи и потока. Из рис. 3,а следует, что эта пара вихрей появляется за диском Маха в результате взаимодействия струи и восходящего потока под ней. На рис. 3,б показано, что в точке зарождения вихря поток является дозвуковым. Также на рис. 3,а,б можно наблюдать вихревой след вблизи стенки, состоящий из симметрично вращающихся вихрей 6. Как указывалось выше, часть вихря 5 порождает боковую вихревую систему 8, оставшаяся его часть, примыкающая к струе, формирует вихревой след 6 (см. рис. 3,а,б). Возникновение вихря 6 обусловлено тем, что непосредственно за струей вблизи стенки образуется область пониженного давления, в которую устремляется натекающий поток. Существование обширных дозвуковых зон за диском Маха и непосредственно за струей вблизи стенки хорошо видно на рис. 3,в,г.

На рис. 3,д,е в сечении  $x = 15,8$  представлена вихревая картина, на которой видны две пары вращающихся в противоположных направлениях вихрей 8, 9. Результаты вычислений показывают, что по мере продвижения вниз по потоку вихрь 8 теряет интенсивность и не наблюдается в сечениях  $x = 14,1 \div 15,4$ . Очевидно, дальнейшая интенсификация этого вихря зависит от взаимодействия натекающего потока и вдуваемой струи. Также на рис. 3,д,е виден вихрь 6, который существенно увеличился в размерах. Результаты эксперимента показывают, что в сечении  $x = 18,0$  две пары вихрей 8, 9 сливаются в один вихрь, направление вращения которого совпадает с направлением вращения вихря 8 и который виден на всем протяжении расчетной области.

На рис. 4,а–г в сечении  $x = 18,9$  можно наблюдать вихрь 10, который формируется в результате взаимодействия струи и высокоскоростного натекающего потока, проходящего над бочкообразной структурой. Данный вихрь впервые численно обнаружен в работе [8]. Видно, что вихрь 10 движется в вертикальном направлении вдоль линии симметрии на достаточном расстоянии от поверхности пластины. Очевидно, появление вихря 10 зависит от интенсивности смещения струи и потока, поскольку численные эксперименты, проведенные при меньших значениях параметра нерасчетности, не выявили наличия этой пары вихрей.

Сравнение вихревой структуры 8 в сечениях  $x = 18,0$ ,  $x = 18,9$  показывает, что центр вращения смещается к стенке. Это обусловлено тем, что на данном уровне происходит прилипание струи к плоскости пластины и вблизи стенки формируется новая пара вихрей 11 (см. рис. 4,а,б). Тем самым подтверждается предположение, сделанное в работе [12], что между струей и областью ее прилипания к стенке существует своего рода каверна, в которой возможно появление двух вихрей с противоположным направлением вращения. Из рис. 4,а,б следует, что направление вращения вихря 11 совпадает с направлением вращения следа 6.

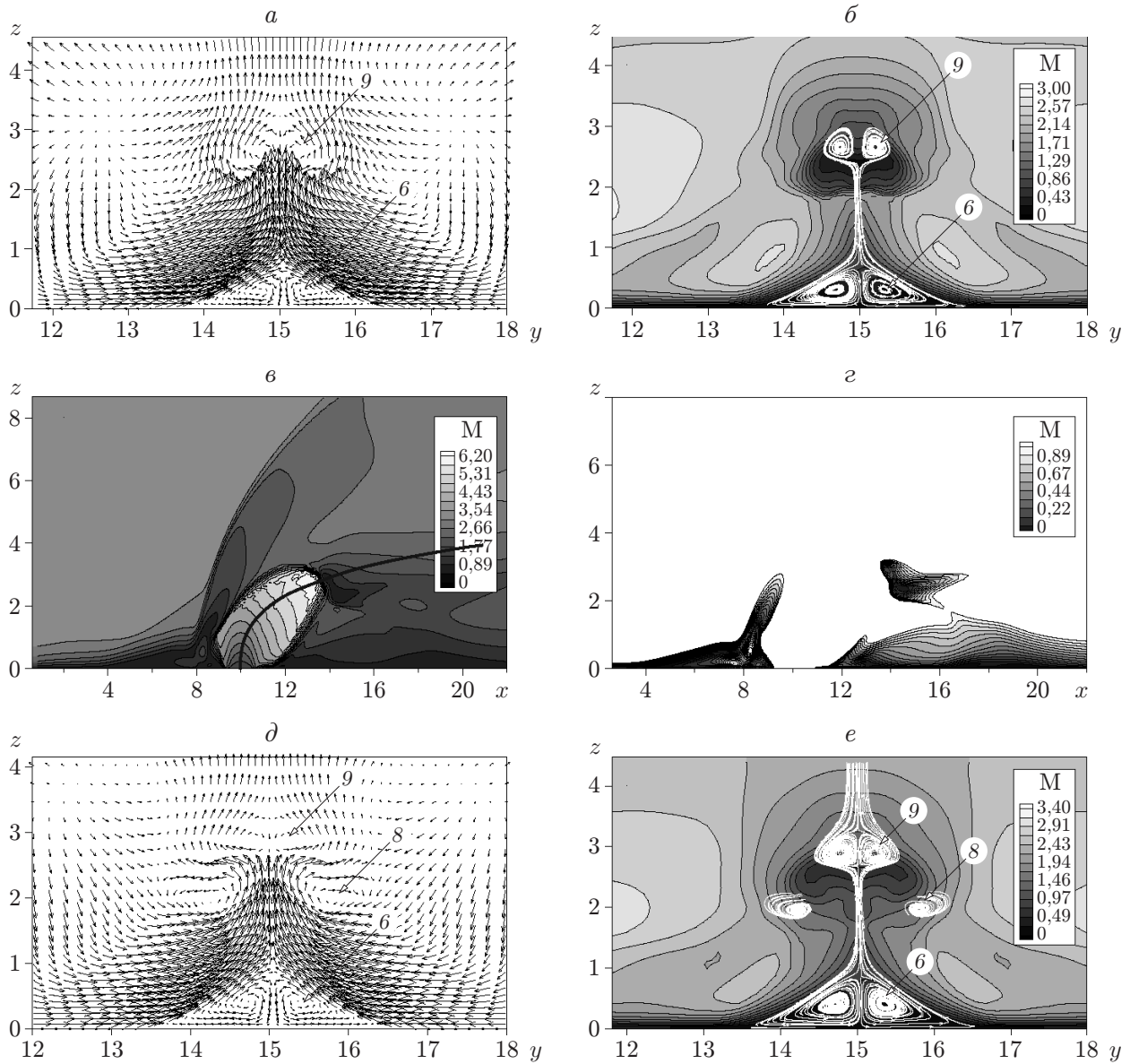


Рис. 3. Поле вектора скорости (*a*, *в*, *д*), проекции линий тока на плоскость, нормальную к оси *x* (*б*, *г*, *е*), и распределение числа Маха (*б-г*, *е*) при  $Re = 1,87 \cdot 10^7$ ,  $Pr = 0,9$ ,  $n = 50$ ,  $M_0 = 1$ ,  $M_\infty = 3$ :  
*a*, *б* — в плоскости  $zy$  ( $x = 14,7$ ), *в*, *г* — в плоскости симметрии ( $y = 15,0$ ), *д*, *е* — в плоскости  $zy$  ( $x = 15,8$ ); 6, 8, 9 — вихри, показанные на рис. 1; утолщенная линия — траектория центральной точки струи

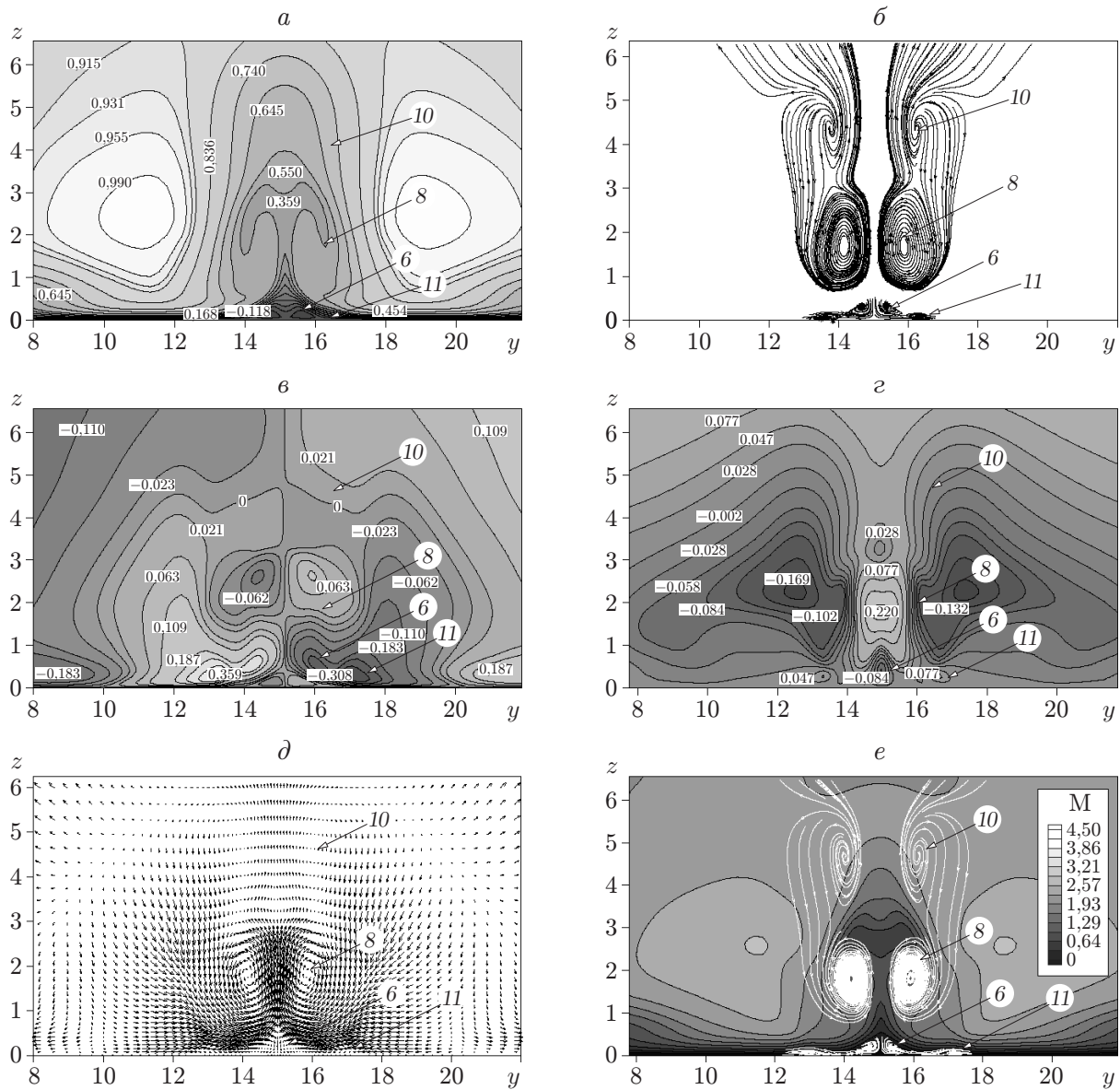


Рис. 4. Проекция линий тока на плоскость  $zy$  (а), изолинии продольной (б) и поперечных  $v$  (в),  $w$  (г) составляющих скоростей в плоскости  $zy$  в сечении  $x = 18,9$ , а также поле вектора скорости (д), распределение числа Маха и проекция линий тока, нормальную к оси  $x$  (е), в сечении  $x = 20,6$  при  $Re = 1,87 \cdot 10^7$ ,  $Pr = 0,9$ ,  $n = 50$ ,  $M_0 = 1$ ,  $M_\infty = 3$ :

6, 8, 10 — вихри, показанные на рис. 1, 11 — вихрь, возникающий в случае прилипания струи к плоскости пластины

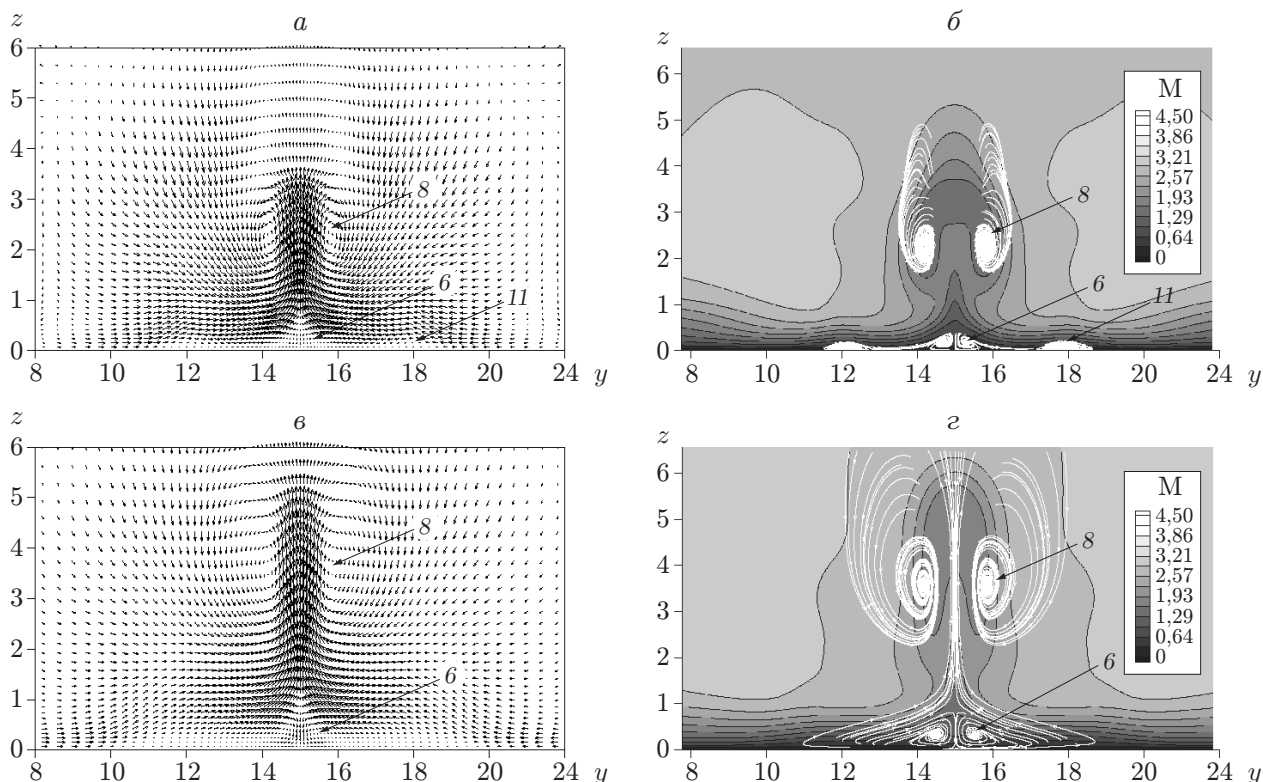


Рис. 5. Поле вектора скорости (*а, в*), распределение местного числа Маха и проекции линий тока на плоскость, нормальную к оси *x* (*б, г*), при  $Re = 1,87 \cdot 10^7$ ,  $Pr = 0,9$ ,  $n = 50$ ,  $M_0 = 1$ ,  $M_\infty = 3$ :  
*а, б* — в плоскости *zy* ( $x = 24,0$ ), *в, г* — в плоскости *zy* ( $x = 28,0$ ); *6, 8* — вихри, показанные на рис. 1, *11* — вихрь, возникающий в случае прилипания струи к плоскости пластины

В сечении  $x = 20,6$  (см. рис. 4,*д,е*) пара вихрей *11* смещается от линии симметрии и становится более интенсивной. В сечении  $x = 24,0$  (рис. 5,*а,б*) вихрь *11* находится на значительном расстоянии от линии симметрии и хорошо виден, а вихрь *10* уже не наблюдается. Численные эксперименты показывают, что при  $x = 28,0$  (рис. 5,*в,г*) вихри *11* и *6* объединяются.

В работе также выполнены численные эксперименты при меньших значениях параметра нерасчетности. Для этих случаев вихревая картина подробно описана в работах [1–6]. Результаты расчетов, проведенных при меньших значениях параметра нерасчетности, например при  $n = 10$ , показывают, что вихревая картина меняется с увеличением параметра нерасчетности. Так, при  $n = 10$  в области за струей образуются вихри *6, 8, 9*, однако не формируются вихревые структуры *10, 11*. Вероятно, это обусловлено тем, что при меньших значениях параметра нерасчетности интенсивность смещения набегающего потока и струи недостаточна для образования вихрей *10, 11*.

В работе проведено сравнение численных результатов с экспериментальными данными [12] для параметра нерасчетности  $n = 40$ . На рис. 6 показано распределение давления  $P/P_\infty$  на стенке в плоскости симметрии. (Начало координат выбранной системы совпадает с центром отверстия для вдува, по оси абсцисс отложена величина  $x_1 = (x - d/2) - L_1$ , где  $L_1$  — расстояние от передней точки струи до начала области повышения давления;  $d$  — диаметр струи.) На рис. 6 видно, что вследствие торможения набегающего потока перед струей давление повышается и образуются области с различными градиентами дав-

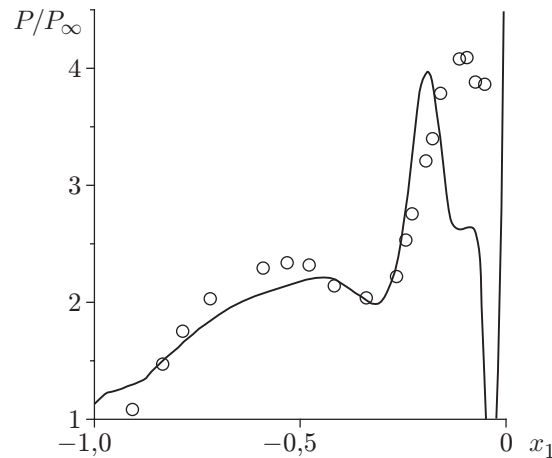


Рис. 6. Распределение давления на стенке на оси симметрии при  $Re = 1,87 \cdot 10^7$ ,  $Pr = 0,9$ ,  $n = 40$ ,  $M_0 = 1$ ,  $M_\infty = 3$ :  
линия — результаты расчета, точки — данные эксперимента [12]

ления. Также на рис. 6 видно, что результаты расчетов и экспериментальные данные [12] удовлетворительно согласуются.

Для подтверждения правильности результатов расчета в области взаимодействия сверхзвуковой струи с набегающим потоком по эмпирической формуле [13]  $x = (q_{01}/q_{02})^{1,3} z^3 + z \operatorname{ctg} \alpha$  ( $q_{01} = \rho_\infty u_\infty^2/2$ ,  $q_{02} = \rho_0 w_0^2/2$  — скоростные напоры в сносящем потоке и на начальном участке струи соответственно;  $\alpha$  — угол между направлением оси сопла и направлением потока) определялась траектория центральной точки круглой струи, сносимой поперечным потоком. Из рис. 3, в, на котором показаны вычисленная траектория центральной точки струи и распределение числа Маха в плоскости симметрии, следует, что расчетная траектория соответствует наклону струи, зависящему от набегающего потока, и проходит через диск Маха.

**Заключение.** С использованием методики расчета на основе ENO-схемы осредненных по Фавру уравнений Навье — Стокса для совершенного газа численно моделируется трехмерное сверхзвуковое турбулентное течение с симметричным поперечным вдувом круглых струй через отверстия в стенках. Изучен механизм образования вихревых структур в результате взаимодействия набегающего потока с вдуваемой струей при значениях параметра нерасчетности  $3 \leq n \leq 50$ . Установлено, что при  $n \geq 10$  в результате взаимодействия струи и обтекающего ее потока появляется дополнительная пара вихрей, а также происходит отрыв вблизи стенки, т. е. формируется еще один вихрь.

## ЛИТЕРАТУРА

1. **Grasso F., Magi V.** Simulation of transverse gas injection in turbulent supersonic air flows // AIAA J. 1995. V. 33, N 1. P. 56–62.
2. **Chenault C. F., Beran P. S.**  $k-\varepsilon$  and Reynolds stress turbulence model comparisons for two-dimensional injection flows // AIAA J. 1998. V. 36, N 8. P. 1401–1412.
3. **Chenault C. F., Beran P. S.** Numerical investigation of supersonic injection using a Reynolds stress turbulence model // AIAA J. 1999. V. 37, N 10. P. 1257–1269.
4. **Sun De-chaun, Hu Chun-bo, Cai Ti-min.** Computation of supersonic turbulent flowfield with transfer injection // Appl. Math. Mech. 2002. V. 23, N 1. P. 107–113.

5. **Бекетаева А. О., Найманова А. Ж.** Численное моделирование сверхзвукового течения с поперечным вдувом струй // ПМТФ. 2004. Т. 45, № 3. С. 72–80.
6. **Бекетаева А. О., Найманова А. Ж.** Численное исследование пространственного сверхзвукового течения совершенного газа при наличии поперечного вдува струй // ПМТФ. 2011. Т. 52, № 6. С. 58–68.
7. **Боровой В. Я.** Течение газа и теплообмен в зонах взаимодействия ударных волн с пограничным слоем. М.: Машиностроение, 1983.
8. **Viti V., Neel R., Schetz J.** Detailed flow physics of the supersonic jet interaction flow field // Phys. Fluids. 2009. V. 21, N 4. 046101.
9. **Wilcox D. C.** Turbulence modeling for CFD. 2nd ed. La Canada: DCW Industr., 1998.
10. **Poinsot T. J., Lele S. K.** Boundary conditions for direct simulation of compressible viscous flows // J. Comput. Phys. 1992. N 101. P. 104–129.
11. **Бруель П., Найманова А. Ж.** Расчет нормального вдува струи водорода в сверхзвуковом потоке воздуха // Теплофизика и аэромеханика. 2010. Т. 17, № 4. С. 565–576.
12. **Глаголев А. И., Зубков А. И., Панов Ю. А.** Обтекание струйного газообразного препятствия на пластине сверхзвуковым потоком // Изв. АН СССР. Механика жидкости и газа. 1967. № 3. С. 97–102.
13. **Абрамович Г. Н.** Теория турбулентных струй / Г. Н. Абрамович, Т. А. Гиршович, С. Ю. Крашенинников, А. Н. Секундов, И. П. Смирнов. М.: Наука, 1984.

*Поступила в редакцию 31/III 2014 г.,  
в окончательном варианте — 27/II 2015 г.*

---